

al.(1996)の式との比較を行った。

$$\frac{\delta_s}{D_{50}} = \alpha \theta_w = \alpha \frac{0.5 f_w u_a^2}{sg D_{50}} \dots\dots\dots(2)$$

ここで、 δ_s ：移動層厚、 D_{50} ：中央粒径、 f_w ：摩擦係数（Jonsson,1966）、 u_a ：流速振幅、 α ：11.8である。その結果を図-5に示す。これをみると、粗砂の移動層厚は式(2)とほぼ一致している。つまり混合砂中の粗砂は、均一粒径砂の時とほぼ同じ挙動を示すものと考えられる。一方、混合砂中の細砂は渡辺ら(1999)で報告されているように、細砂含有率および流速によって異なる移動機構を示しており、混合砂の漂砂量を精度よく予測するためにはさらにこれらの移動機構を算定式に考慮しなければならない。

4.まとめ 図-1に示す漂砂量方程式は均一粒径砂の漂砂量を精度よく計算することができる。しかし、混合砂の漂砂量については、粗砂の漂砂量は含有率を乗じることにより計算できるが、細砂の漂砂量は含有率を乗じるだけでは良い結果がえられない。これは、混合砂の移動層厚をみても明らかのように、細砂に関しては均一粒径砂の時とは違った挙動を示し、粗砂による影響を受けているものと考えられる。今後、混合砂の漂砂量を精度良く計算するためには、細砂については粗砂の影響を加味したような計算を行う必要がある。

参考文献

- Al-Salem(1993): Ph.D.Thesis, Delft University of Technology.
Ribberink & Chen(1993) : Report H840, Part VII, Delft Hydraulics, The Netherlands.
Ramadan(1994) : Report H1889.11, Part I, Delft Hydraulics, The Netherlands.
Ribberink(1995) : Report H1889.11, Part II, Delft Hydraulics, The Netherlands.
Katopodi et al.(1994) : Data Report H1684, Part III, Delft Hydraulics, The Netherlands.
Janssen et al.(1996) : Data Report H2462, Part IV, Delft Hydraulics, The Netherlands.
Janssen & Van der Hout(1997) : Data Report Z2137, Part I, Delft Hydraulics, The Netherlands.
Dibajnia & Watanabe(1992) : ICCE, pp.2015~2028.
渡辺 晃ら (1999) : 海岸工学論文集, 第46卷, pp.521~525.

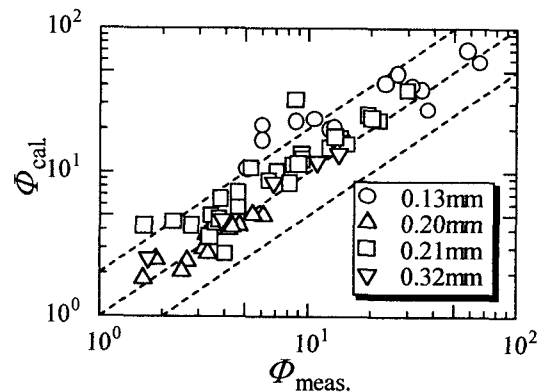


図-3 無次元漂砂量の実験値と計算値の比較（均一砂）

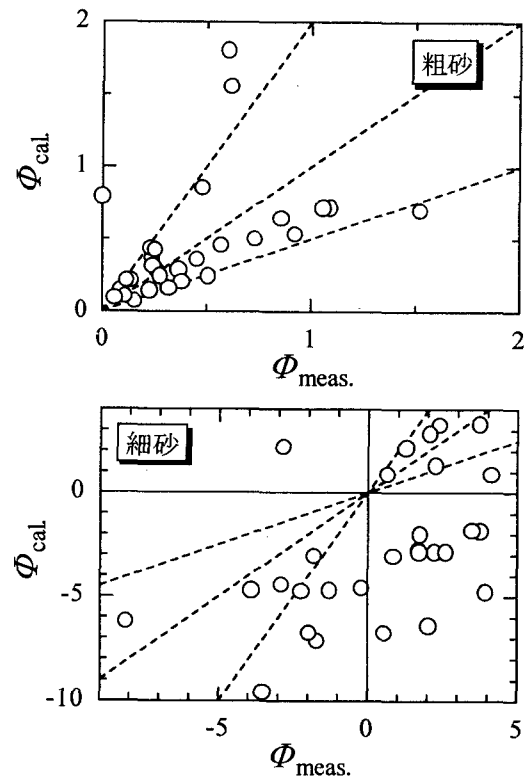


図-4 無次元漂砂量の実験値と計算値の比較（混合砂）

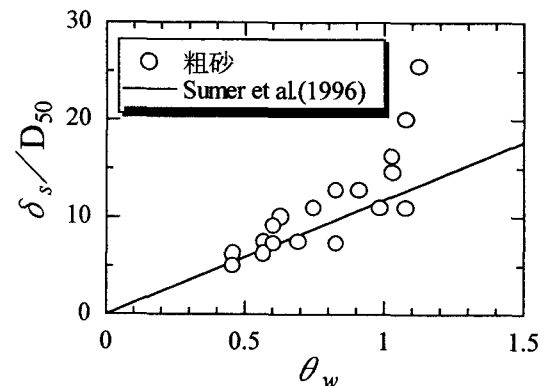


図-5 無次元移動層厚の実験値と計算値の比較